



محیط‌های (رسوبی و پیوندگاری) سکانسی سازندهای ساچون و جهرم در منطقه‌ی شیراز

رضا میرزایی محمودآبادی*^۱ و مسیم افغان^۲

1) گروه زمین‌شناسی، دانشگاه آزاد اسلامی، واحد استهبان

2) گروه زمین‌شناسی، دانشگاه آزاد اسلامی واحد شیراز

* عهده‌دار مکاتبات

مکیده

به منظور مطالعه‌ی محیط‌های رسوبی و چینه‌نگاری سکانسی سازندهای ساچون و جهرم تعداد دو برش چینه‌نگاری (سروستان، تنگ خیاره) در منطقه‌ی شیراز انتخاب و بررسی گردید. مطالعات پتروگرافی سازند ساچون نشان می‌دهند که رخساره‌های این سازند بیشتر در پهنه‌ی جزرومدی و لاغون شکل گرفته و شامل ژپس، دولومیت، استروماتولیت، مارن قرمز و سبز و آهک دولومیتی هستند. مطالعات پتروگرافیکی بر روی سازند جهرم نشان می‌دهند که این سازند در منطقه‌ی مورد مطالعه از ۱۲ رخساره‌ی میکرو-سکوپی کربناتی وابسته به چهار کمریند رخساره‌ای دریای باز، سد، لاغون و پهنه‌ی جزرومدی تشکیل شده است. رخساره‌های سازند جهرم شامل مادستون بیوکلاستی پلاژیک، وکستون بیوکلاستی جبلکی، گرینستون بیوکلاستی اریبتولیتیس دار، گرینستون بیوکلاستی میلیولیدار، وکستون بیوکلاستی میلیولید، الوثلین و نومولیت دار، پکستون بیوکلاستی پلت دار، پکستون بیوکلاستی ایتراکلست دار، پکستون بیوکلاستی روتالیادر، دولومادستون، مادستون با فابریک چشم پرنده‌ای و استروماتولیت باندستون می‌باشند. مطالعات چینه‌نگاری سکانسی نشان می‌دهند که سازند ساچون از یک سکانس رسوبی (DS1) تشکیل شده است. مرز زیرین این سکانس با سازند تاربور فرسایشی (SB1) و مرز بالای آن با سازند جهرم تدریجی و همسار است (SB2). دسته رخساره‌های تی اس تی سکانس سازند ساچون از مارن‌های سبزرنگ با میان لایه‌های ژپس و دولومیت تشکیل شده و دسته رخساره‌های اج اس تی آن، بیشتر از مارن‌های قرمزنگ همراه با لایه‌های ژپس تشکیل شده‌اند. در برش سروستان و تنگ خیاره سازند جهرم از یک سکانس رسوبی تشكیل شده که دسته رخساره‌های تی اس تی آن مربوط به بخش عمیق‌تر لاغون و دسته رخساره‌های اج اس تی آن از تناوب رخساره‌های دریای باز، لاغون و سد (پاراسکانس‌های به طرف بالا کم عمق‌شونده) تشکیل شده‌اند.

واژه‌های کلیدی: جزرومدی، لاغون، ژپس، استروماتولیت، سروستان، تنگ خیاره.

Depositional environments and sequence stratigraphy of Sachun and Jahrum Formations in Shiraz area

R. Mirzaee Mahmoudabadi*¹ & M. Afghah²

1) Department of Geology, Faculty of Science, Islamic Azad University, Science & Research Branch, Tehran, I. R. Iran

2) Department of Geology, Faculty of Science, Islamic Azad University, Shiraz Branch, Shiraz, I. R. Iran

*Correspondence Author

Abstract

To study depositional environment and sequence stratigraphy of Sachun and Jahrum formations 2 stratigraphical sections have been chosen (Sarvestan, Tange Kheyare). petrographic study shows that Sachun formation consist of 5 microfacies, gypsum, dolomite, red and green marl, dolomitic limestone and stromatolite that deposited in tidal flat and lagoon. Petrographic study on Jahrum formation recognized of 11 microfacies that including *pelagic bioclast* mudstone, *pelagic bioclast* wackestone, *Algal bioclast* grainstone, *Orbitolites* bioclast grainstone, *Miliolide* bioclast grainstone, *Miliolide* bioclast wackestone, *Nummulite Alveolina* bioclast wackestone, Pelloidal bioclast packstone, Intraclast bioclast packstone, Dolomudstone, Mudstone with birds eyes, Stromatolite boundstone. These microfacies deposited in open marine, bar, lagoon and tidal flat. Sequence stratigraphy studies shows that Sachun formation conformed 1 depositional sequence (DS1). lower contact of Tarbur formation erosional (SB1) and upper contact with Jahrum formation transitional (SB2). TST systems tract consist of green marl interbedded of dolomite, gypsum and dolomitic limestone. HST systems tract conformed of red marl interbed of gypsum. Jahrum formation in Sarvestan and Tange Kheyare sections conformed of 1 depositional sequence (DS1). lower contact of Sachun formation transitional (SB2) and upper contact erosional (SB1). TST systems tract related to lagoon environments and HST systems tract conformed of shallowing upward parasequences and consist of dolomite and dolomitic limestone.

Key words: tidal flat, lagoon, gypsum, Stromatolite, Sarvestan, Tange Kheyare

۱- مقدمه

Van Wagoner et al. (2002), (Van Buchem et al. 2000), (Nadjafi et al. 2004), (Mahboubi et al. 2002), (الاسمی ۱۳۷۹) و (الاسمی و سیاهی ۱۳۸۴) استفاده شد.

۲- روش مطالعه

روش مطالعه شامل دو مرحله‌ی مطالعات صحرایی و آزمایشگاهی می‌باشد. پس از بررسی عکس‌های هوایی منطقه‌ی مورد مطالعه و بازدیدهای صحرایی متعnde از رخنمون سازندهای ساچون و جهرم تعداد دو برش چینه‌نگاری در نظر گرفته شد. از نمونه‌های دستی برداشت شده از دو برش تعداد ۴۰۰ مقطع نازک تهیه گردید. برای بررسی ویژگی‌های پتروگرافیکی و نام‌گذاری نمونه‌های کربناته، پس از تعیین درصد اجزای اسکلتی و غیراسکلتی و عناصر ارتوکم به روشن دانهام (Dunham 1962)، دسته‌بندی رخساره‌ها و ارائه مدل رسوبی از روش Scholle Lasemi & Carozzi, 1981Carozzi 1989 (Flügel 2004)، (2003)، و (2004) استفاده شد.

۳- موقعیت جغرافیایی و توصیف برش‌ها

در تصویر ۱ موقعیت جغرافیایی گستره‌ی مورد پژوهش مشخص شده است. سنگ‌شناسی برش‌های مورد مطالعه به ترتیب زیر است:

۳-۱- برش سروستان

این برش در ۹۵ کیلومتری جاده‌ی شیراز- فیروز در جنوب شیراز واقع شده است. جاده‌ی ارتباطی آن از شمال شرق به سروستان و از شرق به استهبان متنه می‌شود. مختصات قاعده‌ی برش "۳۰° ۵۳' ۵۳۰ طول شرقی و ۲۹° ۳۵' ۵۷' عرض شمالی است. ستبرای این برش ۵۵۷ متر بوده و از لحاظ چینه‌نگاری دو سازند ساچون و جهرم را در بر می‌گیرد. سازند ساچون با ۳۹۰ متر ضخامت از ژیپس (توده‌ای و رشته‌ای)، باندهای دولومیت و لایه‌های مارن تشکیل شده است. قسمت اعظم سازند ساچون در برش سروستان از مارن قرمز با میان لایه‌های تبخیری و مارن سبز با میان لایه‌های آهک دولومیتی و دولومیت تشکیل شده است. مرز زیرین سازند ساچون با سازند تاربور فرسایشی و مرز بالایی آن با سازند جهرم تدریجی است. ۱۶۷ متر باقی‌مانده، سازند جهرم را در برگرفته و از دولومیت‌های زرد و نخودی رنگ نازک تا ضخیم‌لایه و سنگ آهک دولومیتی ضخیم‌لایه و توده‌ای تشکیل شده است. مرز بالایی سازند جهرم با سازند آواری رازک فرسایشی است.

سازندهای ساچون (ماستریختین-پالتوسن) و سازند جهرم (پالتوسن-ائوسن) در منطقه‌ی شیراز گسترش زیادی دارند. سازند ساچون در منطقه‌ی مورد مطالعه از ژیپس، مارن‌های قرمز- سبز و آهک‌های دولومیتی تشکیل شده است. سنگ‌شناسی سازند جهرم شامل آهک‌های دولومیتی، آهک و دولومیت است. سازند ساچون عمدها از ژیپس، مارن‌های سبز و قرمز و سنگ آهک دولومیتی و سازند جهرم از دولومیت، سنگ آهک و سنگ آهک دولومیتی تشکیل شده‌اند (معیعی ۱۳۸۲). سازند تبخیری ساچون یکی از منابع مهم گچ در دنیا (Dana 2000) و سازند جهرم به عنوان یکی از سنگ‌های مخزن نفت در منطقه‌ی زاگرس اهمیت زیادی دارند (معیعی ۱۳۷۴).

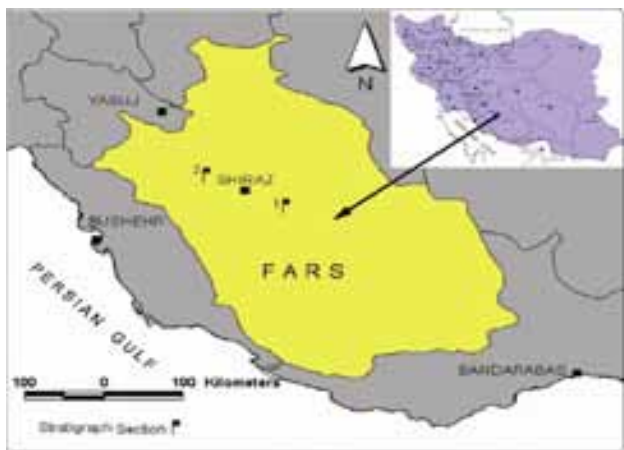
چینه‌نگاری سکانسی دانش نوینی است که با بررسی رخساره‌های رسوبی، تشخیص محیط‌های رسوبی و تغییرات عمودی آن‌ها سنگ‌های یک حوضه را به سکانس‌هایی که میان نایپوستگی و پیوستگی هم‌ارز آن‌ها قرار دارند بخش می‌کند. به بیان دیگر چینه‌نگاری سکانسی سرگذشت رسوب‌گذاری، فرسایش و افت و خیز دریا را در هر منطقه‌ای مشخص می‌کند. مطالعات چینه‌نگاری سکانسی در تعیین همارزی چینه‌شناختی در حوضه‌های رسوبی جلوی کمریند چین‌خوردۀ زاگرس (Persian Gulf Forland Basin) و حوضه‌های دیگر دنیا و همچنین برای اکتشاف نفت اهمیت شایانی دارند (الاسمی ۱۳۷۹). از آنجایی که اغلب مطالعات انجام گرفته بر روی این دو سازند بر روی بیواستراتیگرافی و لیتواستراتیگرافی انجام گرفته و مطالعه‌ی دقیق چینه‌نگاری سکانسی در منطقه تاکنون به طور تفصیلی انجام نشده است، لذا مهمترین اهداف این مطالعه به شرح زیر می‌باشند:

۱- شناسایی رخساره‌های میکروسکوبی و بررسی تغییرات آن‌ها در جهت عمودی و افقی

۲- تفسیر محیط‌های رسوبی در زمان تشکیل سازندهای مورد مطالعه بر اساس تغییرات عمودی و جانبی رخساره‌ها، استفاده از قانون Flügel 2004 (Purser 1975, Wilson 1975, Tucker & Wright 1990,

۳- شناسایی چرخه‌های رسوبی و الگوی روی هم انباشتگی آن‌ها برای تشخیص دسته‌ی رخساره‌ها (Systems tract)، مرزها (Depositional boundary) و سکانس‌های رسوبی (Sequence boundary).

برای مطالعات چینه‌نگاری سکانسی از منابعی نظیر (Vail et al. 2005), (Lasemi 1995), (Emery & Myers 1991)، (Miall 1991)



تصویر ۱- موقعیت جغرافیایی منطقه‌ی مورد مطالعه ۱- برش سروستان، ۲- برش تنگ خیاره

شده است. اندازه‌ی بلورهای دولومیت ریز و بافت موژاییسکی آن زنونتوپیک است. از عناصر فرعی می‌توان به اکسید آهن اشاره کرد که در برخی نمونه‌ها میزان آن به ۱۵ درصد می‌رسد. در برخی از نمونه‌ها تخلخل حفره‌ای (فابریک حفره‌ای) مشاهده می‌شود که در بعضی نمونه‌ها به حدود ۲۵ درصد کل حجم نمونه می‌رسد. این رخساره در روی زمین به صورت دولومیت ریز بلور با لایه‌بندی نازک و به رنگ زرد و خاکستری روشن مشاهده می‌شود (تصویر ۲A).

۱۴-۱-۱-۱- (فساره‌ی D2؛ مان-شیل قرمز رنگ با میان لایه‌های

(Red marl/shale with evaporate interbeds)

این رخساره به صورت مارن‌های قرمزنگ با میان لایه‌های ژیپس مشاهده می‌شود. استبرای میانگین این رخساره‌ها در برش مورد مطالعه متفاوت بوده و بین ۱۰ تا ۳۰ متر در تغییر است. در مقطع میکروسکوپی بلورهای ژیپس و اندیزیت به صورت درشت و رشته‌ای مشاهده می‌شوند (تصویر ۲D).

۱۴-۱-۲- گمرنده (فساره‌ای بین مد و مرد) (intertidal)

(Stromatolite Boundstone)

این رخساره به صورت لامینه‌های تیره و روشن مشخص می‌شود و از به دام افتادن رسوب و یا چسبیدن آن به جلبک‌های سبز-آبی (سیانو باکتری‌ها) پدید آمده است. فابریک چشم پرنده‌ای از ویژگی‌های بارز این رخساره محسوب می‌شود (تصویر ۲B).

۱۴-۱-۳- گمرنده (فساره‌ای تالاب) (Lagoon)

(Farsarه‌ی B1؛ وکستون بیوکلاستی دولومیتی شده)

(Dolomitized Bioclast Wackestone)

۱۴-۲- برش تنگ خیاره

این برش در ۳۵ کیلومتری جاده‌ی شیراز-گویم-تنگ خیاره در شمال غربی شیراز قرار دارد. مختصات قاعده‌ی برش تنگ خیاره $25^{\circ} 25' 52''$ طول شرقی می‌باشد. ستبرای این برش ۴۷۹ متر بوده و از لحاظ چینه نگاری دو سازند ساچون و جهرم را در بر می‌گیرد. سازند ساچون در این برش ضخامت کمی داشته (۳۰ متر) و عمده‌تاً از مارن‌های قرمز با میان لایه‌های ژیپس و دولومیت تشکیل شده است. سازند جهرم با ضخامت ۴۴۹ متر از سنگ آهک‌های قهوه‌ای، قرمز تا زرد به‌شدت هوازده، متبلور، برشی شده با لایه‌بندی نازک تا تودهای، آهک بیوکلاستی جلبکی متوسط تا ضخیم‌لایه، آهک نازک تا ضخیم‌لایه حاوی فرامینیفرهای بتیک آغشته به ترکیبات آهن دار به رنگ قرمز هوازده، سنگ آهک‌های دولومیتی و دولومیت تشکیل شده است. مرز زیرین سازند جهرم با سازند ساچون تدریجی و مرز بالای آن با سازند آسماری فرسایشی است.

۱۴- (فساره‌های میکروسکوپی و تفسیر محیط (رسوبی

در بررسی‌های صحرایی و پتروگرافیکی سازندهای مورد مطالعه، طیف وسیعی از رخساره‌های کربناته و تبخیری شناسایی گردیدند. برای تفکیک و شناسایی رخساره‌های کربناته از فاکتورهایی نظیر نوع اجزای تشکیل دهنده سنگ‌های کربناته اعم از ارتوم، آلوکم (اسکلتی و غیر اسکلتی)، اندازه‌ی دانه‌ها و درصد فراوانی آن‌ها استفاده شد. دانه‌های اسکلتی بیشتر از خانواده میلیولیده، جلبک‌ها، نومولیتیده و آلوئولینیده تشکیل شده‌اند. دانه‌های غیراسکلتی شامل پلت و ایترکلست بوده که درصد فراوانی آن‌ها در بعضی نمونه‌ها به ۵۰ درصد می‌رسد. نام‌گذاری نمونه‌های کربناته به روش دانهام (Dunham 1962) انجام شد. در ادامه رخساره‌های شناسایی شده‌ی سازندهای ساچون و جهرم به تفکیک مورد بررسی قرار می‌گیرند.

۱۴-۱- (فساره‌های میکروسکوپی سازند ساچون

بررسی‌های میکروسکوپی نمونه‌های سازند ساچون در برش‌های کوه سروستان و تنگ خیاره منجر به شناسایی تعداد پنج رخساره‌ی تبخیری، کربناته و مارنی وابسته به چهار کمرنده‌ی بالای مد، بین جزر و مد، لاکون و سد گردید.

۱۴-۱-۱- گمرنده (فساره‌ای بالای مد) (Supratidal)

(Dolomudstone)

این رخساره در برگیرنده‌ی پلولینید در یک زمینه میکریتی دولومیتی

در محیط بالای مد رسوب‌گذاری ممتد اندیزیت باعث تشکیل ندول‌های اندیزیت می‌شود (Shinn 1983, Flügel 2004).

در محیط بالای مد رسوب‌گذاری ممتد اندیزیت باعث تشکیل ندول‌های اندیزیت می‌شود (Shinn 1983, Flügel 2004).

رسخاره D2 با شیل-مارن‌های قرمز رنگ و بین لایه‌های رسوبات تبخیری ژیپس و اندیزیت نیز مربوط به محیط بالای مد است. بسیاری از رسوبات تبخیری متناوب با مارن و رس‌های رنگین قرار می‌گیرند. رنگ قرمز این رسوبات نشان‌دهنده‌ی شرایط اکسیدان و یا خروج از آب رسوبات به مدت طولانی است. دولومیت‌های مدل سبخانی، اندازه‌ی بلورهای بسیار ریز در حدود ۲۰-۱۰ میکرون و اصولاً حالت لامینه‌ای دارند. اشباع‌شده‌ی بالای دولومیت در منطقه‌ی سبخان منجر به رشد بلور به صورت اوئیه تشکیل می‌شوند (Sibley & Gregg 1987). (رسخاره‌ی D1).

۴-۲-۱-۲- تفسیر رسوبات کمربند (رسخاره‌ای بین جزء و مد استروماتولیت با دولومیت ریزبلور به همراه قالب تبخیری در محیط‌های هیبرسالین نهشته می‌شوند. استروماتولیت یک رسوب لامینه‌دار است که معمولاً در اثر به تله افتادن و بهم متصل شدن ذرات رسوبی توسعه سیانو باکتری یا جلبک سبز-آبی که ساختمان لزج و بافت رشته‌ای دارد به وجود می‌آید. استروماتولیت‌های سازند ساچون با استروماتولیت‌های خلیج فارس که در محیط بین جزر و مذکوظ می‌شوند (Shinn 1983) مشابه است. رخساره‌ی C با رخساره‌ی Lasemi (1995) همسان است.

۴-۲-۳- تفسیر رسوبات کمربند (رسخاره‌ای لاگون)
در رخساره‌ی B1 اندازه‌ی متوسط تا درشت بلورهای دولومیت وجود شبیه از آلوکم‌ها (نظیر شیخ‌ایدیها یا فسیل‌ها) همه بیانگر تشکیل این نوع دولومیت‌ها بر اثر جانشینی است (Sibley & Gregg 1984). با وجود این که بافت اوئیه در اثر فرایند دولومیتی شدن تقریباً از بین رفته، ولی اثرهای به جای مانده از بافت اوئیه و نوع و فراوانی آلوکم یافت شده از قبیل فسیل میلیولیده، پلت و ایترالکست گواه بر این است که این رخساره در یک محیط کم عمق لاگون نهشته شده است (لاسمی ۱۳۷۹).

محل تشکیل رسوبات شیل-مارن‌های خاکستری، سبز و کرم رنگ (رسخاره‌ی B2) را به دلیل عدم وجود نشانه‌های خروج از آب مثل ترک‌های گلی، رنگ آن‌ها و قرارگیری در زیر چرخه‌های رسوبی به سمت بالا کم عمق‌شونده، باید وابسته به محیط تالاب دانست.

در این رخساره حدود ۲۵ درصد آلوکم مشاهده می‌شود که درصد آن پلت و بقیه میلیولیده هستند. فابریک مخرب دولومیتی شدن باعث شده که تنها سایه‌ای از آلوکم‌ها مشخص باشند. در نمونه‌های مشابه درصد دولومیتی شدن در نوسان است و در بعضی نمونه‌ها تا ۱۰۰ درصد کل نمونه را نیز در بر می‌گیرد. این رخساره در مطالعات صحرایی به رنگ خاکستری روشن به صورت بین لایه‌ای با مارن و شیل‌های سبزرنگ دیده می‌شود (تصویر F).

۴-۱-۳-۲- (رسخاره B2: شیل و مارن سبزرنگ با میان لایه‌های سنگ آهک دولومیتی شده (dolomitic limestone))

این رخساره در مطالعات صحرایی به صورت مارن‌های سبزرنگ به ستبرای بین ۱۰ تا ۲۰ متر با میان لایه‌های سنگ آهک دولومیتی شده (وکستون بیوکلاستی دولومیتی شده) مشاهده می‌شوند. به علت مقاومت کم این لایه‌ها در برابر فرسایش لایه‌های موجود به صورت تپه ماهوری دارای آبراهه‌های شاخه‌ای رخنمون دارند. مارن‌های سبزرنگ سازند ساچون در تناوب با مارن‌های قرمز مشاهده می‌شوند (تصویر ۲C).

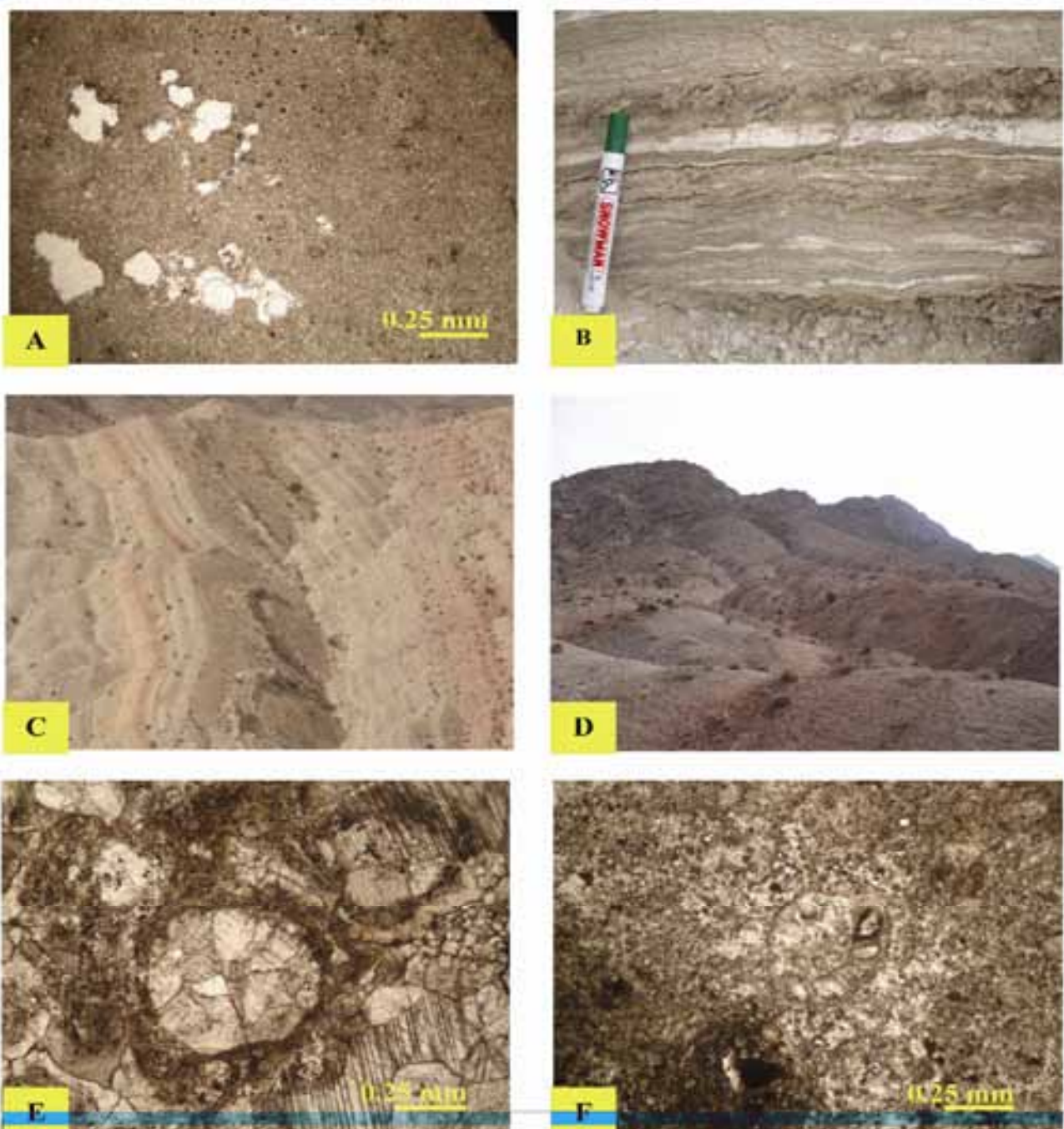
۴-۱-۴- کمربند (رسخاره‌ای سد (Bar))

۴-۱-۴-۱- (رسخاره A: گرینستون الیدی پلوبیدی دولومیتی شده (Dolomitized Pelloid Ooid Grainstone))

در این رخساره حدود ۳۰ درصد الید و پلت دیده می‌شوند که در اثر فرآیند دولومیتی شدن تنها ظاهر مبهمی از آن‌ها باقی مانده است. در رخساره‌ی A زمینه‌ی اسپاریتی به میزان زیادی دولومیتی شده و در رخساره در صحراء به صورت سنگ آهک دولومیتی با لایه‌بندی متوسط تا ضخیم به رنگ خاکستری مشاهده می‌شود (تصویر ۲E).

۴-۲- تفسیر محیط رسوبی سازند ساچون

۴-۲-۱- تفسیر رسوبات کمربند (رسخاره‌ای پهنه‌ی جزء و مدی در رخساره‌های D1 تا D2 رسوبات تبخیری با ساختهای بافت‌های متفاوت مشاهده می‌شوند. رسوبات تبخیری موجود در کمربند رخساره‌ای بالای مد در سازند ساچون نشان‌دهنده‌ی آب و هوای گرم و خشک است. ندول‌های اندیزیت در بخش میانی و تبخیری‌های لایه لایه در بخش بالایی محیط سبخای ساحلی (ناحیه بالای مد) هستند (Shinn 1983).

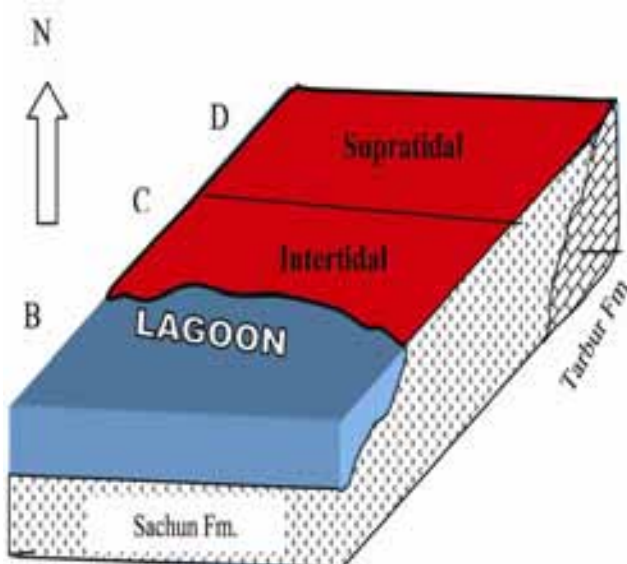


تصویر ۲- رخساره‌های روی زمین و میکروسکوپی سازنده ساچون، A: دولومیت (دولومادستون)، B: دولومیت (دولومادستون)، C: شیل و مارن سبزرنگ همراه با میان لایه‌های آمک دولومیتی، D: مارن و شیل قرمز با میان لایه‌های ژپس و انیدریت، تصویر از برش سروستان، E: گرینستون پلوییدی، اییدی دولومیتی شده، فابریک مخبر باعث شده که فقط سایه‌ای از ایید دیده شود، F: وکستون بیوکلاستی، این رخساره تا حدود ۸۰ درصد دولومیتی شده است.

۴-۴-۳- تفسیر رسویات کمربند (رسویات سد)

بررسی‌های صحرایی و میکروسکوپی نشان می‌دهند که رسویات سازنده ساچون در سه کمربند رخساره‌ای پهنه‌ی جزر و مد، لagon و سدی نهشته شده‌اند. در مدل پیشنهادی رخساره‌های D به محیط بالای مد، رخساره‌ی C به محیط بین حد جزر و مد، رخساره‌های B به محیط کم عمق لagon و رخساره‌ی A به محیط پشت سد با انرژی متوسط تا بالا مربوط می‌شوند. محیط سیاحتی، پهنه‌ای نمکی است که

وجود اییدهای مبهم، پلویید و ایترائلست که به احتمال زیاد در محیط بالاتر از سطح اثر امواج ایجاد شده‌اند، می‌تواند نشان‌دهنده‌ی محیط سدی باشد. رسویات این رخساره بدون آثار خروج از آب هستند و در کنار رخساره‌های تالاب دیده می‌شوند. نبودن ماتریکس گلی با وجود اییدها و نبودن فسیل‌های تالاب نیز می‌توانند نشان‌دهنده‌ی محیط سدی باشد.



تصویر ۳- محیط رسوی پیشنهادی سازند ساچون

گلوبیترینیده و قطعات شکسته شده آن هاست. این رخساره در روی زمین به صورت سنگ آهک کلسی لوتیت با لایه‌بندی متوسط و به رنگ خاکستری مشاهده می‌شود (تصویر ۵A).

B: گرینستون بیوکلاستی جلبکی (Algal Bioclast Grainstone)

در این رخساره حدود ۴۰ درصد آلوکم‌های اسکلتی از جنس جلبک و فرامینیفرهایی از خانواده آلتولینیده و میلیولیده در زمینه‌ای از سیمان اسپاریتی وجود دارند. در بعضی رخساره‌های مشابه درصد بیوکلاست جلبک سبز به حدود ۷۰ درصد حجم جلبک سبز به حدود ۷۰ درصد حجم کل نمونه نیز می‌رسد. این رخساره در صحراء به صورت آهک کالک‌آرنايت متوسط تا ضخیم لایه به رنگ خاکستری و در قسمت میانی برش تنگ خیاره رخمنون دارد (تصاویر C، D و E).

B2: گرینستون بیوکلاستی اریتولیتیس دار (Orbitolites Bioclast Grainstone)

در این رخساره حدود ۴۰ درصد آلوکم اسکلتی از جنس اریتولیتیس و میلیولید با قطر بین $1/5$ تا $1/2$ میلی‌متر وجود دارند. این دانه‌ها در زمینه‌ای از سیمان اسپاریتی قرار دارند. این رخساره در صحراء به صورت سنگ آهک کالک‌آرنايت ضخیم لایه به رنگ روشن رخمنون دارد (تصویرهای E و F).

گاهی توسط آب‌های کم عمق به طور مؤقت پوشیده ولی اکثر اوقات خارج از آب بوده است.

بررسی‌های میکروسکوپی نمونه‌های سازند ساچون در برش‌های کوه سروستان و تنگ خیاره نشان می‌دهد که سازند ساچون در بخش‌های آغازین یک پلاتفترم کربناته از نوع شلف نهشته شده و محیط رسوی غالب آن در زمان تشکیل محیط جزو مردمی بوده است. محیط رسوی غالب در زمان پدید آمدن سازند ساچون محیط پهنه جزر و مدی هایپرسالین (سبخا) بوده که در زمان پایین افتادگی سطح آب دریا شکل گرفته و شامل رخساره‌های تبخیری، استروماتولیت و مارن‌های قرمز رنگ است. در محیط لagon مارن‌های سبز و خاکستری، آهک و آهک دولومیتی نهشته شده است (تصویر ۳).

۱۴-۳- رخساره‌های میکروسکوپی سازند جهرم

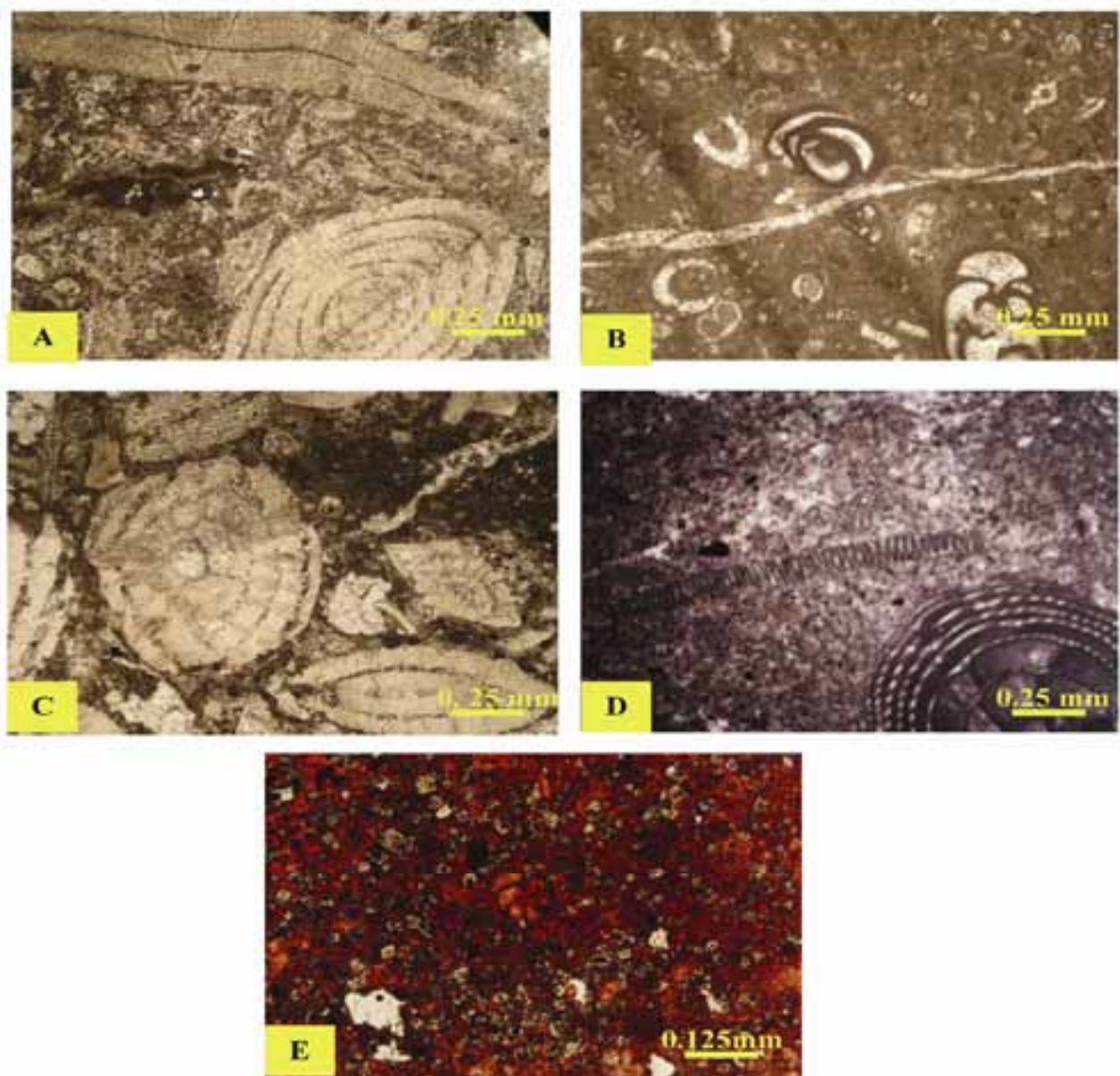
سازند جهرم در منطقه‌ی مورد مطالعه در برش‌های سروستان و تنگ خیاره رخمنون دارد. بررسی‌های میکروسکوپی نمونه‌های سازند جهرم در این برش‌ها به شناسایی ۱۳ رخساره‌ی میکروسکوپی انجامید. با توجه به ستون تغییرات عمودی آنها این رخساره‌ها در یک پلاتفترم کربناته از نوع شلف مشابه خلیج فلوریدا نهشته شده‌اند (Lasemi 1995, Flügel 2004, Tucker & Wright 1990 در چهار کمربند دریای باز (A)، سد (B)، لagon (C) و پهنه‌ی جزر و مدی (D) تشکیل شده‌اند که از ناحیه‌ی دریای باز به طرف ساحل به شرح زیر می‌باشند:

A1: مادستون بیوکلاستی پلاژیک (Pelagic Bioclast mudstone)

این رخساره تماماً از گل آهکی و کمتر از ۱۰ درصد آن از فرامینیفرهای پلانکتون تشکیل شده است. وجود بیوکلاست‌های پلانکتون وابسته به دریای ژرف و میکریت فراوان نشانگر رسوب گذاری این گروه از رخساره‌ها در محیط دریای ژرف است (Wilson 1975, Lasemi 1995, Bernaous et al. 2002) (تصویر E).

A2: وکستون بیوکلاستی پلاژیک (Wackestone)

در این رخساره، صدف میکروفسیل‌های پلانکتون نواحی آرام و کم انرژی در یک زمینه‌ی میکریتی قرار گرفته‌اند. درصد عناصر اسکلتی حدود ۲۰ درصد می‌باشد که شامل خانواده گلوبروتالاید و



تصویر ۵- رخساره‌های میکروسکوپی سازند جهرم A، B و C: وکستون بیوکلاستی میلیولید، آلوئولین و نومولیت‌دار، تصویر A میکروفیل میلیولیده، تصویر B جنس‌های نومولیت و دیسکوسيکلین (آتوسن میانی) دیده می‌شوند. در تصویر D جنس‌های آلوئولینا و اریتویلین مشاهده می‌شوند. E: وکستون بیوکلاستی. این رخساره در بعضی نمونه‌ها بین ۲۰ تا ۷۵ درصد دولومیتی شده است. فابریک مخرب پدیده دلومیتی شدن تنها ظاهر مبهمی از آلوکم‌ها بر جای گذاشته است

میلیولیده، نومولیتیده، آلوئولینیده، روتالیله و دیسکوسيکلینیده وجود داشته که در زیررخساره‌های مشابه میزان کمی و کیفی میکروفیل‌ها متغیر می‌باشد. به همراه آلوکم‌های ذکر شده درصد کمی پلت و بعضاً اینترکلست در زمینه‌ی میکریتی شناور هستند. در برخی نمونه‌ها فرایند دیاژنتیکی دولومیتی شدن مشاهده می‌شود و درصد آن بین ۱۵ تا ۷۵ درصد متغیر است. فابریک مخرب در فرایند دولومیتی شدن باعث تخریب و محو ظاهر آلوکم‌ها شده و تشخیص نوع آلوکم و محیط رسوبی آن را مشکل می‌سازد. این رخساره در صحراء به صورت سنگ آهک دولومیتی متوسط تا ضخیم لایه به رنگ خاکستری رخنمون دارد. فرایند دیاژنتیکی نشومورفیسم به خوبی در نمونه مشهود است.

B3: گرینستون بیوکلاستی میلیولیددار (Miliolids)

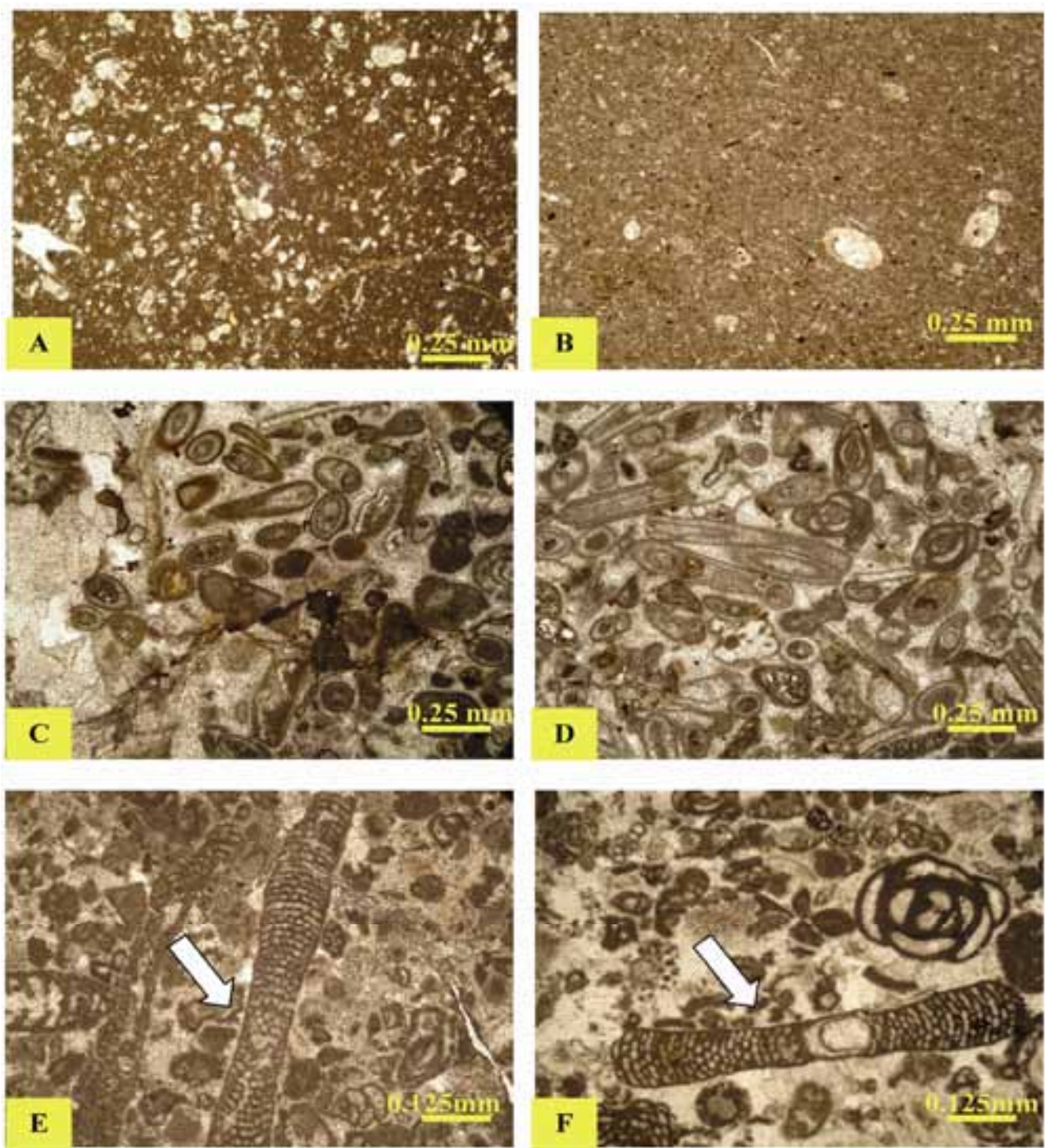
Bioclast Grainstone

ویژگی‌های این رخساره همانند رخساره B2 بوده، ولی آلوکم‌های آن بیشتر از خانواده‌ی میلیولیده تشکیل شده و درصد آن بین ۲۰ تا ۵۰ در نمونه‌های مشابه متغیر است.

C: گمرند رفساره‌ای تالاب (لگون)

C1: وکستون بیوکلاستی میلیولید، آلوئولین و نومولیت‌دار (Miliolide, Alveolina, Discocyclina wackestone)

در این رخساره حدود ۳۵ درصد دانه‌های آلوکم از خانواده‌ی

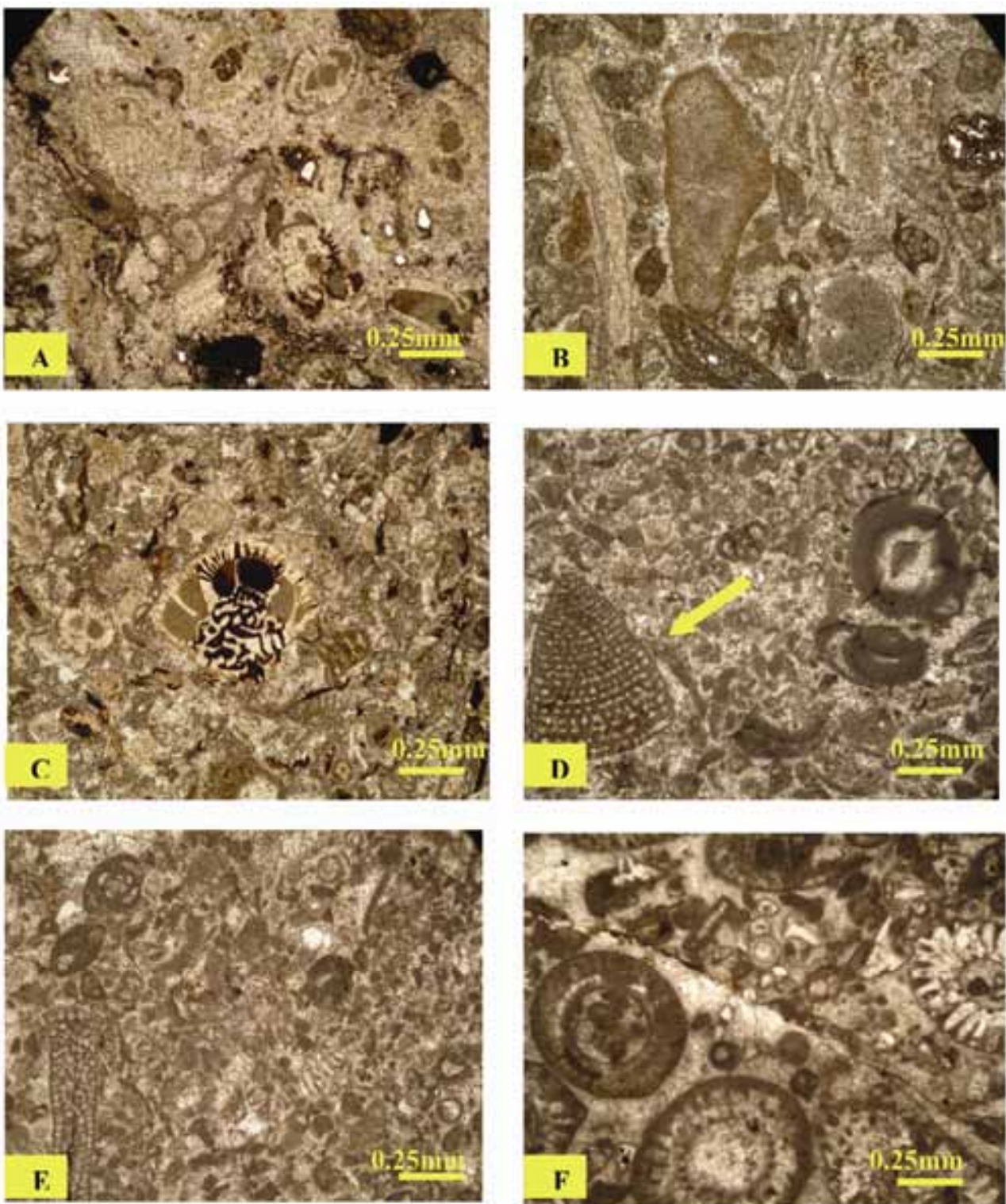


تصویر ۴- رخساره‌های میکروسکوپی سازنده جهرم، A: پکستون بیوکلاستی پلازیک، B: پکستون بیوکلاستی پلازیک، میکروفسیل‌های پلانکتون در یک زمینه میکریتی شناور هستند. C و D: گرینستون بیوکلاستی جلبک دار، قطعات اسکلتی (جلبک‌های سبز) در یک زمینه اسپاریتی قرار دارند. E و F: گرینستون بیوکلاستی اریتولیتیک دار، گونه Orbitolites shirazensis به سن پالتوسن بالایی در یک زمینه اسپاریتی دیده می‌شود (فلش سفید).

C2: پکستون بیوکلاستی پلت‌دار (Peloidal Bioclast Packstone)

در این رخساره حدود ۵۵ درصد آلوکم اسکلتی از خانواده‌ی سوری تیده (جنس اریتولیتیک)، خانواده‌ی میلیولیده، خانواده‌ی نومولیتیده و جلبک‌ها به همراه آلوکم غیراسکلتی نظیر پلت وجود دارند که بعضًا سطوح آلوکم‌ها به اکسید آهن آغشته است. میانگین

به طوری که سیمان کلسیت اسپاری جایگزین صدف فسیل‌هایی همچون میلیولیده و نومولیتیده و خرده‌های آن‌ها شده است. همچنین در اطراف خرده‌های اکینودرم رشد سیمان سین‌تکسیال مشاهده می‌شود. زاویه‌دار بودن بعضی از ایتراکلس‌ها نشان‌دهنده‌ی جابجاگی کم و انرژی پایین محیط تشکیل است (Tucker & Wright 1990) (تصاویر ۵A، ۵B، ۵C و ۵D).



تصویر ۶- رخساره‌های میکروسکوپی سازند جهرم، A: پکستون بیوکلاستی روتالیدار، در این رخساره غالب آلوکم‌های اسکلتی از خانواده‌ی روتالیده تشکیل می‌شوند. B: پکستون بیوکلاستی ایترائلست‌دار، ایترائلست‌های زاویه‌دار تا نیمه‌گرد شده به همراه سایر آلوکم‌ها در یک زمینه‌ی میکریتی. C: پکستون بیوکلاستی روتالیدار، آلوکم‌های اسکلتی آغشته به ترکیبات آهن‌دار بوده، این رخساره در روی زمین به رنگ قرمز دیده می‌شود در تصویر جنس لوكارتیا مشاهده می‌شود. D و E: پکستون بیوکلاستی پلت‌دار، جنس فالوتلا (فلاش سفید) به همراه خانواده‌ی میلولیده. F: گرینستون بیوکلاستی جلبکی.

اندازه‌ی دانه‌های آلوکم بین $\frac{1}{2}$ تا ۱ میلی‌متر متغیر است. این رخساره در یک محیط لagonی نزدیک به کمربند سد با انرژی کم تا متوسط نهشته شده است. در این رخساره درصد کمی ایترائلست نیز دیده می‌شود. این رخساره در روی زمین به صورت سنگ‌آهک ضخیم‌لایه به رنگ خاکستری کرم‌رنگ و در برش تنگ خیاره مشاهده می‌شود (تصویر ۶D).

D3: استروماتولیت باندستون (Stromatolite Boundstone)

این رخساره به صورت اجتماع جلبک‌ها در یک زمینه‌ی میکریتی مشخص می‌شود که حالت لامیناسیون ظرفی از خود نشان می‌دهد. این رخساره نیز در پهنه‌ی جزر و مدی و در قسمت بالای حدا جزر و مد نهشته شده است (تصاویر ۷D، ۷E و ۷F).

۴-۵ تفسیر ممیط رسوبی سازند مهد

بررسی پتروگرافیکی و صحرایی سازند جهرم در ناحیه‌ی مورد مطالعه نشان می‌دهد که بر اساس نوع اجزاء اسکلتی و غیر اسکلتی و میزان فراوانی آن‌ها و نوع عناصر ارتوکم رخساره‌های شناسایی شده در چهار کمربند رخساره‌ای دریای باز، جزایر سدی، لاگون و پهنه‌ی جزر و مدی بر جای گذاشته شده‌اند.

A- کمربند رخساره‌ای دریای باز

رسوب گذاری در این کمربند، در آب با عمق چند ده متر تا صد متر، اکسیژن دار و شوری معمول صورت می‌گیرد. میزان انرژی در این ناحیه پایین می‌باشد و صدف میکروفیل‌های پلاتکتون در یک زمینه‌ی میکریتی دیده می‌شوند که نشان‌دهنده‌ی محیط آرام و کم انرژی است. بودن بیوکلست‌های پلاتکتون و میکریت فراوان نشان‌گر رسوب گذاری این گروه رخساره‌ای در محیط دریایی ژرف است (Lasemi 1995, Bernaous et al. 2002, Wilson 1975) (Roxasareh A1 (مادستون بیوکلستی) و Roxasareh A2 (وکستون بیوکلستی پلاژیک) در این کمربند نهشته شده‌اند.

B: کمربند رخساره‌ای سدی

در این کمربند میزان انرژی متوسط تا بالا است و به شیوه‌ی رسوب می‌انجامد. نبود گل آهکی و اندازه بزرگ آلوکم‌های اسکلتی در رخساره‌ی B1، B2 و B3 نشان از رسوب گذاری در منطقه‌ی با انرژی بالا و کمربند رخساره‌ای سدی است.

C: کمربند رخساره‌ای مربوط به ممیط لاگونی با چاهش آب محدود لاگون و حوضچه‌های جدا افتاده از دریا، توسط سده، معمولاً دارای چرخش آب محدود و آب شور هستند. شوری و میزان اکسیژن در این محیط متغیر می‌باشد. رسوبات تشکیل شده در این نواحی اغلب کربناته می‌باشند که پلوئید فراوان‌ترین اجزاء تشکیل دهنده محسوب می‌شود (Wilson 1975).

وجود آلوکم اسکلتی نظری میلیولیده و نومولیتیده و آلوکم‌های غیر اسکلتی نظری ایتراکلست و پلت نشان‌گر رسوب گذاری در یک محیط

C3: پکستون بیوکلستی ایتراکلست‌دار (Intraclastic Bioclast Packstone)

نظری نومولیت، آلوپولین و میلیولین و اریپولیتیس تشکیل شده که به همراه آن حدود ۱۵ درصد ایتراکلست در اندازه‌ی بیش از ۱ میلی‌متر کمی پلت یافت می‌شود. این رخساره در صورت سنگ‌آهک کالک‌آرنایت متوسط تا ضخیم لایه رخنمون دارد (تصویر ۶B).

C4: پکستون بیوکلستی روتابلیدار (Rotalia Bioclast (Packstone

در این رخساره حدود ۵۰ درصد حجم کل نمونه از آلوکم‌های نظری خانواده‌ی روتابلید با دیواره‌ی آهکی هیالین روشن تشکیل شده است. همچنین درصد کمی ایتراکلست و پلت در یک زمینه‌ی اسپاریتی میکریتی (درصد میکریت ۳۰ درصد) وجود دارد. این رخساره در روی زمین به صورت سنگ‌آهک متوسط تا ضخیم لایه به رنگ قرمز کمرنگ مشاهده می‌شود (تصویر ۶A).

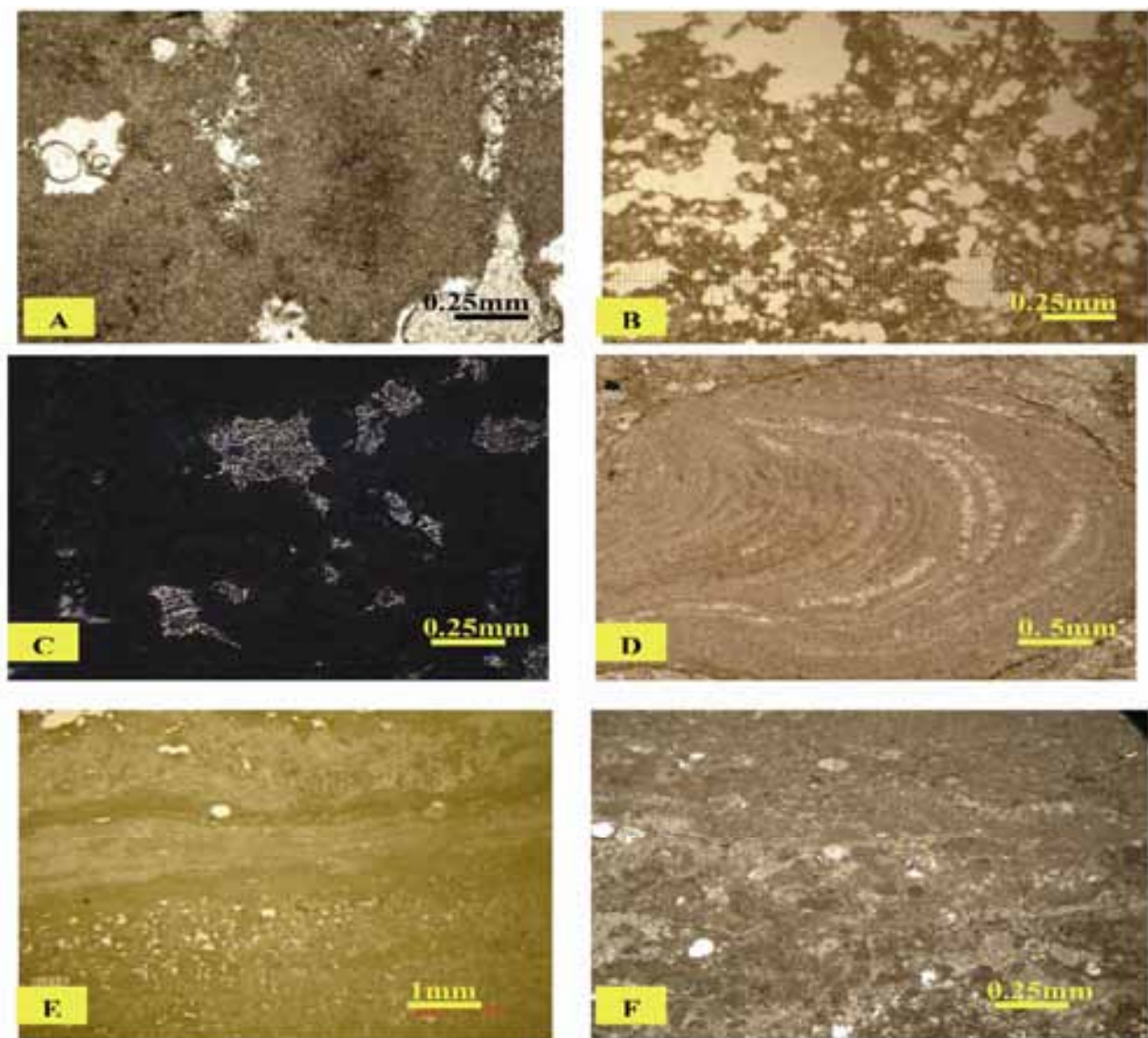
D: کمربند رخساره‌ای پهنه‌ی جزء و مدی

D1: دولومادستون (Dolomudstone)

این رخساره در برگیرنده‌ی پلوئید در یک زمینه‌ی میکریتی دولومیتی شده است. اندازه‌ی بلورهای دولومیت ریز بوده و بافت موزاییکی آن زنوتوبیک می‌باشد. عناصر فرعی اکسید آهن در بعضی نمونه‌های مشابه به میزان ۱۵ درصد می‌رسد. از ویژگی‌های دیگر این رخساره وجود تخلخل حفره‌ای (فابریک فنتزال) است که در بعضی نمونه‌ها به حدود ۲۵ درصد کل حجم نمونه می‌رسد. این رخساره در روی زمین به صورت دولومیت ریز بلور با لایه‌بندی نازک و به رنگ زرد و خاکستری روشن مشاهده می‌شود (تصویر ۷A و ۷B).

D2: مادستون با فابریک پشم پزنده‌ای (Mudstone with Birdseye)

این رخساره تقریباً به طور کامل از گل آهکی با بافت میکروکریستالین و حفرات ناشی از انحلال کانی‌های نظری ژیپس تشکیل شده که تا حد کمی دولومیتی شده است. با توجه به توالی عمودی رخساره‌ها، این رخساره در یک محیط پهنه‌ی جزر و مدی نهشته شده و در روی زمین به صورت سنگ‌آهک کلسی لوئیت با لایه‌بندی متوسط تا نازک به رنگ خاکستری مشاهده می‌شود (تصویر ۷C).



تصویر ۷- رخساره‌های میکروسکوپی سازند جهرم، A: پهنه‌ی جزر و مدی، B: دولومادستون، تخلخل حفره‌ای در اثر فربند دولومیتی شدن در نمونه مشاهده می‌شود. C: مادستون با فابریک چشم پرنده‌ای، اتحال بلورهای ژپس در یک زمینه‌ی میکریتی. D و E: استروماتولیت باندستون، لامیناسیون طرفی میکریتی- جلبکی شاخص محیط پهنه‌ی جزر و مدی در نمونه به خوبی مشاهده می‌شود.

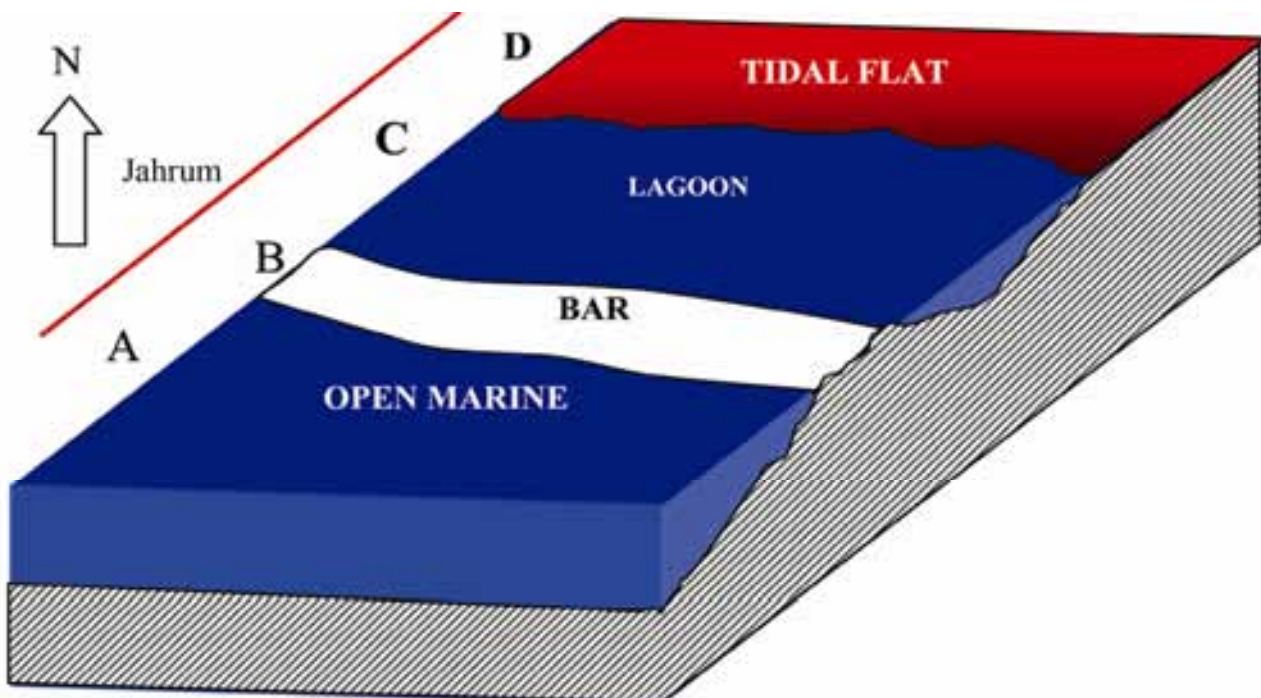
این محیط یافت می‌شوند. این محیط به‌طورکلی به دو بخش سوپراتایرال (فرا جزو مدی) و ایتراتایدال (بین حد جزو مد) تقسیم می‌شود. در رخساره‌ی D1 به علت دانه‌ریز بودن دولومیت‌ها وجود اثرات پلوریدها (شبیه پلت) به احتمال زیاد این رخساره در یک محیط ایتراتایدال نهشته شده است. فابریک چشم پرنده‌ای در رخساره‌ی D2 گواهی بر رسوب گذاری این رخساره در پهنه‌ی جزر و مدی است (Shinn 1983). رخساره‌ی استروماتولیت (D3) خاص محیط بین جزر و مدی است.

مقایسه‌ی توالی‌های میکروfasیسی ستون‌های چینه‌نگاری مناطق سروستان و تنگ خیاره نشان می‌دهد که سازند جهرم در یک

آرام پشت سدا می‌باشد که در رخساره‌های گروه C یافت شده و مربوط به محیط لاگونی هستند (Wilson 1975, Tucker & Wright 1990, Flügel 2004 و (lasmi 1379). در رخساره‌های دولومیتی شده با وجود این که بافت اوئیه تقریباً از بین رفته ولی اثرهای به جا مانده از آن و نوع و فراوانی آلوكم یافت شده از قبیل فسیل میلیولیده، پلت و ایترائلکسلت گواه بر این است که این رخساره در یک محیط کم عمق لاگونی به سمت ساحل نهشته شده است.

D: کمریند رخساره‌ی پهنه جزر و مدی

در این کمریند سنگ‌شناسی غالب، دولومیت ریز بلور به همراه ژپس و ایترات و استروماتولیت می‌باشد. موجودات زنده به ندرت در



تصویر ۸- مدل رسوی پیشنهادی برای سازند جهرم که در یک پلاتفرم کربناته (شلف) در چهار کمربند دریای باز، سد، لagon و پهنه‌ی جزر و مدی رسوی گذاری شده است.

سوم گردید. سکانس شناسایی شده خود از چندین چرخه‌ی رسوی به طرف بالا کم ژرف‌آشونده تشکیل شده است. ستبرای این سکانس ۳۵۰ متر بوده (۴۰ متر بالای سازند ساچون مربوط به سکانس رسوی سازند جهرم DS2 است) و مرز زیرین آن از نوع یک (Sequence boundary type one-SB1) با ناپیوستگی فرسایشی با سازند تاربور مشخص می‌شود (ناپیوستگی فرسایشی بین کرتاسه بالایی و پالئوسن). دسته رخسارهای تی اس تی (TST: Transgressive systems tract) سکانس مورد نظر مربوط به بخش عمیق‌تر محیط لاگون و با ضخامت ۱۴۰ متر از دولومیت، وکستون بیوکلاستی دولومیتی شده، مارن، استروماتولیت و ژیپس-انیدریت تشکیل شده و در روی زمین به صورت مارن‌های خاکستری و سبز با میان لایه‌های دولومیت و آهک دولومیتی به رنگ خاکستری روش و سبز مشاهده می‌شود. به علت فرآیند دولومیتی شدن آخرین حاده پیشروی آب دریا (mfs: Maximum flooding surface) قابل تشخیص نیست ولی از حد لاگون بیشتر نمی‌باشد.

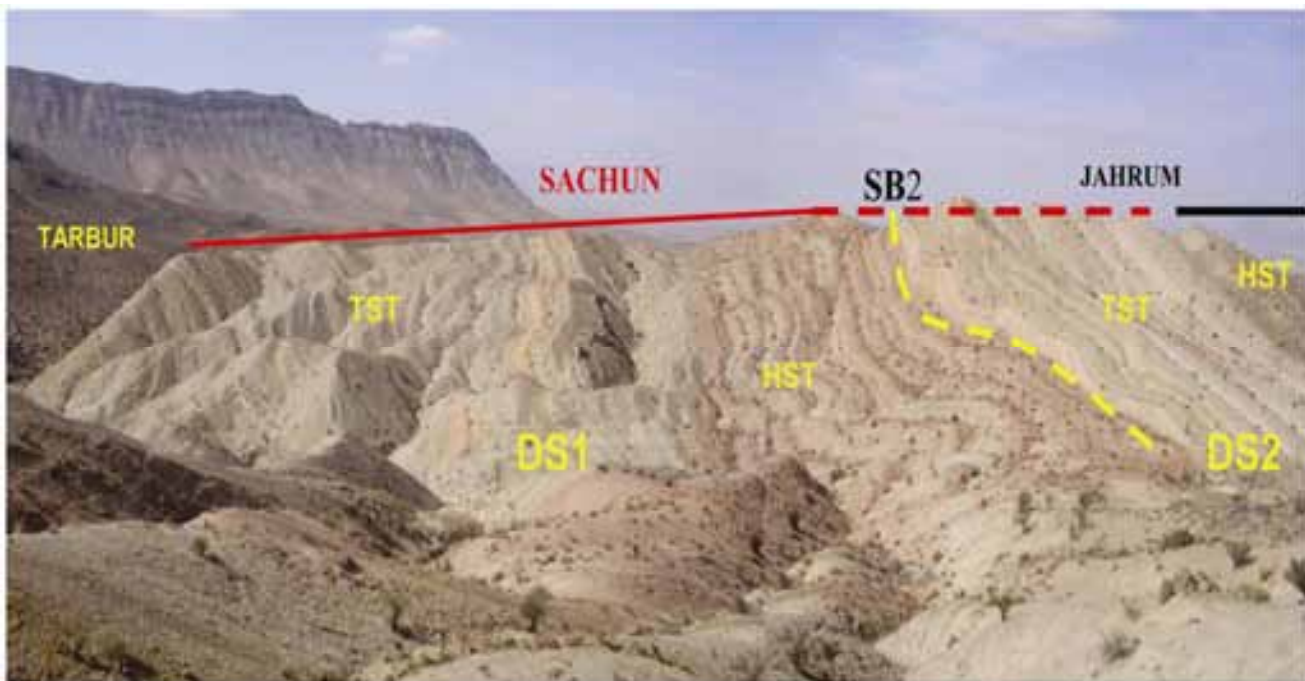
دسته رخسارهای اچ اس تی (HST: Highstand systems tract) سازند ساچون ۲۱۰ متر ستبرای داشته و از مارن‌های قرمزنگ با میان لایه‌های ژیپس، انیدریت، آهک دولومیتی شده (وکستون بیوکلاستی پلوییدی دولومیتی شده، پکستون پلوییدی الییدی دولومیتی شده) و دولومیت تشکیل شده است. این سکانس از چندین پاراسکانس به طرف بالا کم عمق شونده تشکیل شده است (تناوب مارن قرمز و سبز). سیکل‌های کوچک مقیاس کم ژرف‌آشونده به سمت بالا می‌تواند توسط

پلاتفرم کربناته از نوع شلف نهشته شده، با این توضیح که رسوی گذاری در دریای باز پلاتفرم کربناته‌ی جهرم، هم ارز با سازند شیلی پابده بوده است. از لحظه پالئوزئوگرافی در این ناحیه، سازند ساچون در دریای باز پلاتفرم کربناته‌ی جهرم، هم ارز با سازند شیلی پابده بوده است. از لحظه پالئوزئوگرافی در این ناحیه، سازند ساچون در برش‌های سروستان، دودج و تنگ خیاره با ستبرای کمتر در حد پایینی سازند جهرم دیده می‌شود. در زمان پالئوسن محیط رسوی حاکم بر منطقه مورد مطالعه از حوالی غرب شیراز تا حوالی شهرستان جهرم محیط ساحلی بوده است. محیط دریایی لاگونی حاکم بر این محدوده به سمت جنوب غرب گسترش دارد. در زمان ائوسن تقریباً تمامی منطقه به زیر آب فرو می‌رود و کربناتهای سازند جهرم بر روی تبخیرهای سازند ساچون در یک محیط لاگونی شکل می‌گیرند. در تصویر ۸ مدل رسوی سازند جهرم پیشنهاد شده است.

۵- چینه نگاری سکانسی

۱- چینه نگاری سکانسی سازند ساچون

سازند تبخیری ساچون در برش سروستان ۳۹۰ متر ستبرای دارد و عمدها از مارن‌های قرمز و سبز با میان لایه‌های ژیپس و دولومیت و سنگ آهک دولومیتی تشکیل شده است. بررسی تغییرات عمودی رخساره‌های میکروسکوپی و مطالعه‌ی رخساره‌های مارنی، آهکی، دولومیتی و ژیپس‌های نازک لایه در صحراء منجر به شناسایی یک سکانس رسوی (DS: Depositional sequence) از نوع دسته‌ی



تصویر ۹- سکانس رسوبی اول (DS1) و سکانس رسوبی دوم (DS2) و دسته رخسارهای تی اس تی و اچ اس تی. با در نظر گرفتن مرز پیوسته بین مارنهای سبز و قرمز بخشی از سازند ساچون در سکانس دوم قرار می‌گیرد (دسته رخساره‌ی تی اس تی)، برش سروستان دید به سمت غرب.

فرآیندهای همچون درون حوضه‌ای (اتوسیکلیک) و برون حوضه‌ای (آلوسیکلیک) کنترل شوند (لاسمی ۱۳۷۹). مرز بالایی سکانس مورد نظر با سکانس رسوبی دوم (DS2) از نوع دوم (SB2) و تدریجی است و با رخساره‌ی مارن قرمز با میان لایه‌های تبخیری مشخص می‌شود (تصویر ۹ و ۱۰). لازم به ذکر است که رخساره‌های تبخیری سکانس‌های رسوبی اول (سازند ساچون) در برش سروستان به سمت غرب و حوالی شیراز به صورت جانبی به رخساره‌ی مارن، سنگ آهک مارنی، سنگ آهک و سنگ آهک دولومیتی تغییر رخساره می‌دهند. به دلیل عدم وجود فسیل شاخص در نمونه‌های مورد مطالعه، تعیین سن دقیق سکانس‌ها مقدور نمی‌باشد، هر چند که با توجه به قرار گرفتن برش مورد مطالعه بین سازند تاربور و جهرم محدوده‌ی سنی آن پالئوسن تا ائوسن است (تصویر ۱۱).

۵- چینه‌نگاری سکانسی سازند

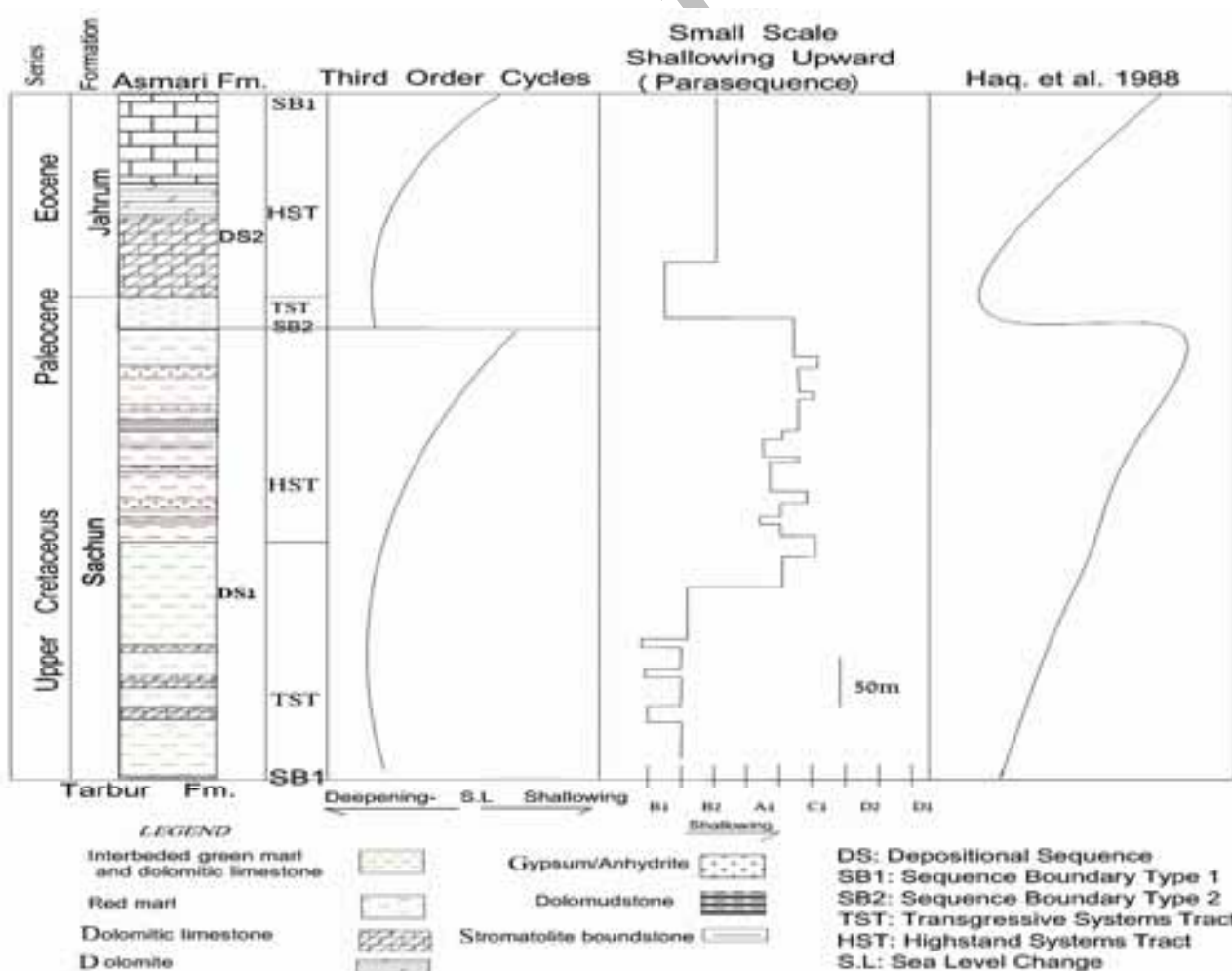
سازند جهرم در برش سروستان و تنگ خیاره از یک سکانس رسوبی شامل چندین چرخه‌ی کوچکتر یا پاراسکانس‌های به طرف بالا کم ژرف‌شونده تشکیل شده است. مرز زیرین آن با سازند ساچون از نوع دوم (SB2: Sequence boundary type two) و مرز بالای آن با سازند آسماری فرسایشی است. این سکانس با پیشروی کربنات‌های محیط کم عمق بر روی تبخیرهای سازند ساچون شروع شده و به سنگ آهک دولومیتی و دولومیت خاتمه می‌یابد. دسته رخساره‌ی تی

تصاویر ۱۲ و ۱۳).

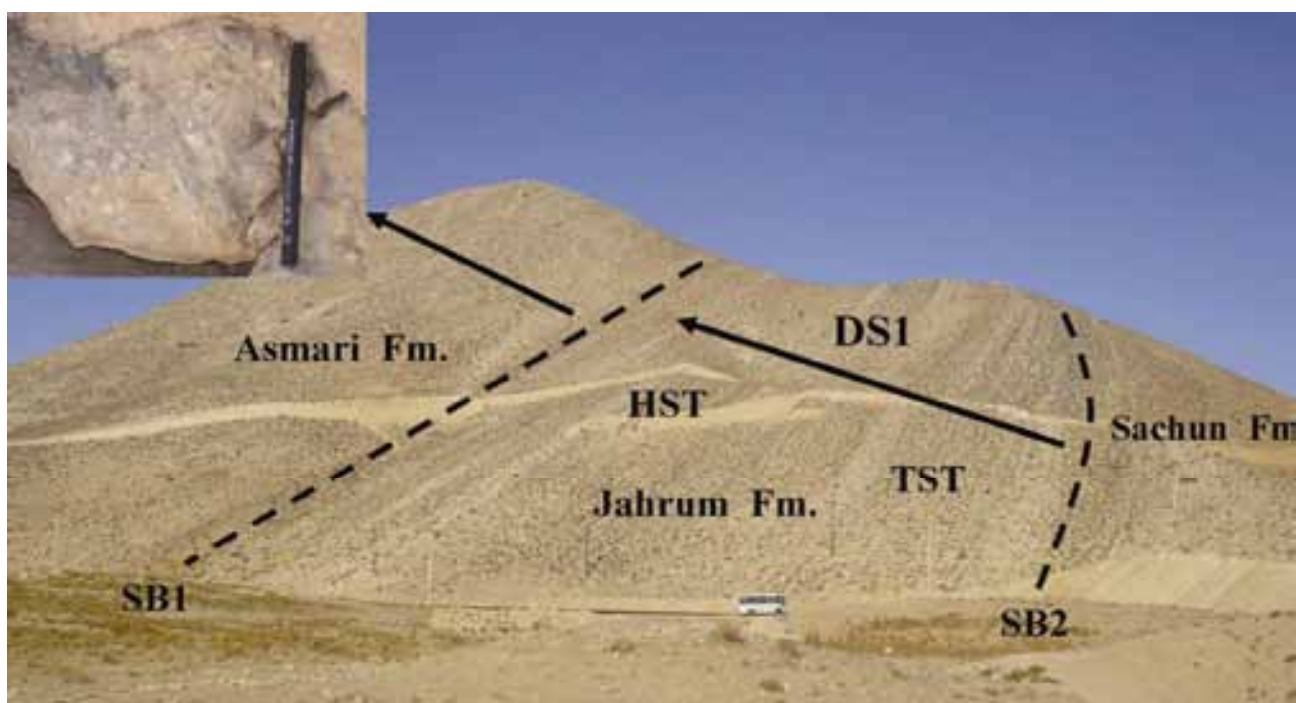
بررسی چینه‌نگاری سکانسی سازندهای ساچون و جهرم نشان



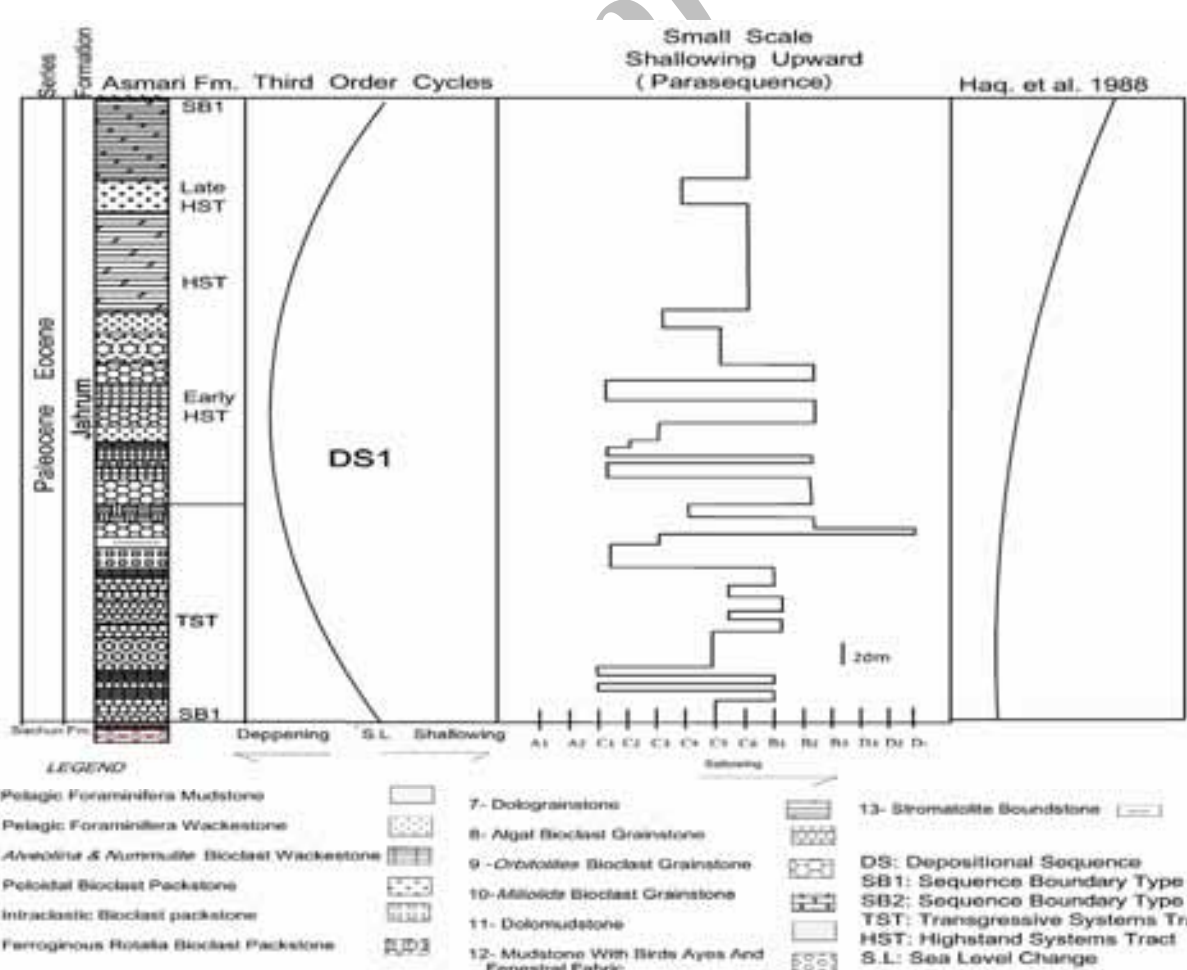
تصویر ۱۰- سکانس رسوبی سازنده دلومیتی جهرم در برش سروستان، در تصویر دسته رخسارهای تی اس تی و اچ اس تی و مرز زیرین با سازند تغییری ساچون به خوبی مشخص است. مرز بالایی این سکانس فرسایشی و قسمت‌های بالایی سکانس مورد نظر حذف شده است برش سروستان، دید به سمت شرق



تصویر ۱۱- چینه‌نگاری سکانسی سازنده‌های ساچون و جهرم، برش سروستان



تصویر ۱۲ - سکانس رسوبی سازند جهرم برش تنگ خیاره. مرز زیرین سازند جهرم با سازند ساچون همساز و تدریجی است(SB2). مرز بالایی سکانس رسوبی سازند جهرم با سازند آسماری از نوع فرسایشی (SB1) است. این مرز توسط لایه کنگلومرای آهن‌دار در روی زمین مشخص می‌شود.



تصویر ۱۳ - چینه‌نگاری سکانسی سازند جهرم - برش تنگ خیاره

بررسی چینه‌نگاری سکانسی سازندهای ساچون و جهرم نشان می‌دهد که سکانس‌های DS1 و DS2 با سکانس‌های جهانی رده‌ی سوم هم خوانی دارند.

می‌دهد که سکانس‌های DS1 و DS2 با سکانس‌های جهانی رده‌ی سوم (Haq et al. 1988) هم خوانی دارند.

تشکر و قدردانی

بدین وسیله نویسندها مراتب تشکر و قدردانی خود را از مدیریت گروه زمین‌شناسی دانشگاه آزاد اسلامی واحد علوم و تحقیقات تهران جناب آقای دکتر خسروخسرو تهرانی اعلام می‌دارند. همچنین از همکاری آقایان مهدی هوشیار، ابراهیم جمشیدزاده و محسن افتخاری در بازدیدهای صحرایی صدمانه تشکر و قدردانی می‌شود.

مراجع

لاسمی، ی.، سیاهی، م.، ۱۳۸۴، "محیط‌های رسوبی و چینه‌نگاری سکانسی سازند داریان در بخش جنوبی فروافتادگی دزفول (برش خامی و چاه سولابردر^(۳)"، فشرده مقالات نهمین همایش انجمان زمین‌شناسی ایران، ۵۶۱ - ۵۶۴

لاسمی، ی.، ۱۳۷۹، "رخساره‌ها، محیط رسوبی و چینه‌نگاری سکانسی نهشته سنگ‌های پرکامبرین بالایی و پالئوزوئیک ایران"، سازمان زمین‌شناسی کشور، صفحه‌ی ۱-۱۴.

مطیعی، ۵، ۱۳۷۴، "زمین‌شناسی نفت زاگرس"، جلد ۱ و ۲، سازمان زمین‌شناسی کشور، شماره‌ی ۲۵: ۱۰۰۹ ص.

مطیعی، ۵، ۱۳۸۲، "زمین‌شناسی ایران، چینه‌شناسی زاگرس"، سازمان زمین‌شناسی و اکتشافات معدنی کشور، ۵۱۳ ص.

Bernaous, J. M., Vanneau, A. & Caus, E., 2002, "Carbonate platform sequence stratigraphy in a rapidly subsiding area: the late Barremian – Early Aptian of the Organya Basin, Spanish Pyrenees", *Sed. Geol.*, Vol. 159: 177–201.

Carozzi, A. V., 1989, "Carbonate rocks depositional model", *Prentice Hall, New Jersey*, 604p

Dana, J. D., 2000, "Manual of mineralogy", *John Wiley & Sons Pub*, 353p.

Dunham, R. J., 1962, "Classification of carbonate rocks according to depositional texture", In: W. E. Ham, (ed.), classification of carbonate rocks: AAPG Memoir 1, p. 108-121

Emery, D. & Myers, K., 2005, "Sequence stratigraphy", *Oxford, Blackwell Science*, 297p.

Flügel, E., 2004, "Microfacies of carbonate rocks", *Analysis, Interpretation and Application*, Springer, 796 p.

Haq, B. U., Hardenbol, J. & Vail, P. R., 1988, "Mesozoic and Cenozoic chronostratigraphy and cycles of sea level changes", In: Wilgus, C. K., Hastings, B. J., Posamentier, H., Van Wagoner, J. C., Ross, C. A. & Kendall, C. G. St. C. (eds.), *Sea level changes: An integrated approach*: Soc. Econ. Paleontologists and Mineralogists Spec. Publ., Vol. 42: 71-108.

۶- تئیه‌گیری

مطالعه‌ی پتروگرافی سازند جهرم منجر به شناسایی رخساره‌های مادستون بیوکلاستی پلاژیک، وکستون بیوکلاستی پلاژیک، گرینستون بیوکلاستی جلبکی، گرینستون بیوکلاستی اریتولیتس‌دار، گرینستون بیوکلاستی میلیولیدار، وکستون بیوکلاستی آلوئوین و نومولیت‌دار، پکستون بیوکلاستی پلت‌دار، پکستون بیوکلاستی ایترکلست‌دار، پکستون بیوکلاستی روتالیدار، دولومادستون، مادستون با فابریک چشم پرنده‌ای و استروماتولیت وابسته به چهار کمربند رخساره‌ای دریای باز، سله، لاغون و پهنه‌ی جزر و مدی گردید.

بررسی چینه‌نگاری سکانسی سازند جهرم منجر به شناسایی یک سکانس رسوبی شد. مرز زیرین آن با سازند ساچون تدریجی (SB2) است. دسته رخساره‌ی تی اس تی این سکانس از رخساره‌های لاغون تشکیل شده و بیشترین پیشروی آب دریا با رخساره‌ی وکستون بیوکلاستی پلاژیک مشخص می‌شود. دسته رخساره‌ی اچ اس تی از تناوب رخساره‌های محیط لاغون، سله و پهنه‌ی جزرومدی تشکیل شده است.

مطالعه‌ی تغییرات عمودی رخساره‌های سازند ساچون منجر به شناسایی پنج رخساره‌ی تیخیری، آواری و کربناته شد که در چهار کمربند رخساره‌ای بالای مد، بین جزر و مد، لاغون و سله نهشته شده‌اند. رخساره‌های محیط بالای مد شامل ژپس، مادستون با فابریک چشم پرنده‌ای، مارن قرمز و رخساره‌ی بین حد جزر و مد استروماتولیت می‌باشد. بعضی نمونه‌های استروماتولیت به همراه دولومیت و ژپس دیده می‌شوند. رخساره‌های محیط لاغون شامل وکستون بیوکلاستی دولومیتی شده با فابریک مخرب و مارن‌های سبز رنگ می‌باشند. دسته رخساره‌ی محیط سله شامل گرینستون اییدی دولومیتی شده با ظاهر مبهم می‌باشد.

بررسی چینه‌نگاری سکانسی سازند ساچون در برش سروستان نشان می‌دهد که بخش عمده‌ی این سازند وابسته به یک سکانس رسوبی است، که مرز پایینی این سکانس با سازند تاربور ناپیوسته است، ولی مرز بالایی آن با مارن‌های سبز سازند یاد شده از نوع پیوسته است (SB2). دسته رخساره‌ی تی اس تیاز مارن سبز با میان لایه‌های آهک دولومیتی و دولومیت و دسته رخساره‌ی اچ اس تی از پاراسکانس‌های به طرف بالا کم عمق‌شونده شامل مارن قرمز با میان لایه‌های ژپس تشکیل شده است.

Purser, B. H., 1975, "The Persian Gulf Holocene carbonate sedimentation and diagenesis in a shallow epicontinental sea", *Springer-Verlag Berlin – Heidelberg, New York*, 471p.

Scholle, P. A., 2003, "A color guide to the petrography of carbonate rocks: grains, textures, porosity, diagenesis, Tulsa, Oklahoma, USA", *AAPG. Memoir 77: 461p.*

Shinn, E. A., 1983, "Tidal flat environment", In: *Carbonate depositional environments* (eds.: P. A., Scholle, D. G., Bebout & C. H., Moore), *A.A.P.G. Tulsa, Oklahoma, U.S.A.*, Vol. 33: 171-210.

Sibley, D. F. A. & J. M. Gregg, 1987, "Classification of dolomite rock textures", *J. Sed. Petrol.*, Vol. 57 (6): 967-975.

Tucker, M. E. & Wright, V. P., 1990, "Carbonate Sedimentology", *Blackwell, Oxford*, 482p.

Vail, P. R., Audemard, F., Bowman, S. A., Eisner, P. N. & Perez-Cruz, C., 1991, "The stratigraphic signatures of tectonics, eustasy and sedimentology – an overview", In: *G. Einsele, W. Ricken & A. Seilacher, (eds.), Cycles and Events in Stratigraphy: Berlin, Springer-Verlag: 617-659.*

Van Buchem, F. S. P., Pittet, B., Hillgartner, H., Grotsch, J., Al Mansouri, A. I., Billing, I. M., Droste, H. H. J., Oterdoom, W. H., 2002, "High resolution sequence stratigraphic architecture of Barremian -Aptiam carbonate systems in northern Oman and the United Arab Emirates (Kharaib and Shu'aiba Formation)", *Geo Arabia, Bahrain*, Vol. 7 (3): 461–500.

Van Wagoner, J. C., Posamentier, H. W., Mitchum, R. M., Vail, P. R., Sarg, J. F., Loutit, T. S. & Hardenbol, J., 1988, "An overview of the fundamentals of sequence stratigraphy and key definitions", In: *Wilgus, C. K., Hastings, B. S., Ross, C. A., Posamentier, H. W., Van Wagoner, J. C. & Kendall, C. G. St. C. (eds.), Sea-Level Changes: An Integrated Approach. Spec. Publ., Soc. Econ. Paleontol. Mineral.*, Vol. 42: 39–45.

Wilson J. L., 1975, "Carbonate facies in geological history", *New York, Springer-Verlag*, 471p.